

Krzysztof Brudnik*, Jerzy Przybyło*, Bogumiła Winid**

**ZMIENNOŚĆ WYDAJNOŚCI I CHEMIZMU WYCIEKU VIII-9
JAKO ELEMENT OCENY ZAGROŻENIA WODNEGO
W KOPALNI SOLI „WIELICZKA”*****

1. WSTĘP

Dopływ wód infiltracyjnych z rejonu otaczającego złoże Wieliczka do kopalni w zdecydowanej większości przypadków jest związany z działaniami technicznych, eksploatacją kopaliny, robotami górniczymi. Pojawianie się w wody w kopalni soli, co zawsze niesie ze sobą zagrożenie rozługowania złoża, często było skutkiem błędów w sztuce górniczej. Zapobiegając zwiększeniu dopływów do kopalni prowadzi się, jeżeli jest to możliwe, uszczelnienia istniejących dróg dopływu. Przykładem takich działań naprawczych może być likwidacja otworów wykonanych z powierzchni do złoża, które były wykorzystywane w różnych celach, np. przy podsadzaniu likwidowanych wyrobisk czy do podziemnego składowania zużła z kotłowni kopalnianej.

**2. LOKALIZACJA WYCIEKU VIII-9
I DZIAŁANIA TECHNICZNE W TYM REJONIE ZŁOŻA**

Jednym z podstawowych zagadnień procesu zabezpieczania Kopalni Soli Wieliczka jest likwidacja wyrobisk poprzez ich podsadzanie. W historii kopalni miał miejsce epizod wykorzystania jako podsadzki materiałów odpadowych z kopalnianej kotłowni.

Po zajęciu Wieliczki przez Niemców okupacyjny zarząd kopalni od maja 1940 wprowadził podsadzanie wybranych wyrobisk przy pomocy piasku oraz popiołu z kotłowni. Popiół przewożono z kotłowni specjalnie na ten cel wybudowanym torem. Piasek zwożono z odkrywki Psia Góra kolejką linową poprowadzoną do szybu Górska. Przewożenie popiołu i żużlu do szybu Kinga okazało się niedogodne, zatem w 1943 roku przystąpiono do

* Kopalnia Soli „Wieliczka”

** Wydział Wiertnictwa, Nafty i Gazu AGH, Kraków

*** Praca wykonana w ramach badań statutowych Wydziału Wiertnictwa, Nafty i Gazu AGH

głębienia otworu podsadzkowego przy kotłowni, który wykończono i oddano do użytku w roku 1944. Otwór sięgał do głębokości międzypoziomu Kazanów, 103 m p.p.t. W rejonie wylotu otworu w wyrobiskach międzypoziomu i niżej leżącego poziomu III wykonano zbiornik zsypowy („bunkier popiołowy” – rys. 1).



Rys. 1. Fragment bunkra popiołowego (fot. J. Przybyło)

Po ponownym uruchomieniu kopalni w 1945 roku po przerwie wywołanej działaniami wojennymi otwór podsadzkowy „popiołowy” zrekonstruowano. Wymieniono w nim przetartą kolumnę rur. Rozpoczęto ponowne podsadzanie wyrobisk kopalni opuszczając otworem „popiołowym” cały materiał odpadowy z kotłowni. Odwiercono także dwa kolejne, sąsiednie otwory podsadzkowe (data ich powstania jest nieznana, dokumenty z 1948 roku [3] traktują o jednym otworze, zatem musiały one powstać później). Pogarszający się stan szybu Górska i kolejki linowej z piaskowni Psia Góru spowodował wstrzymanie podsadzania piaskiem, w związku z czym popiół i żużel z kopalnianej kotłowni stały się pod koniec lat 40. jedynym materiałem podsadzkowym stosowanym w kopalni Wieliczka.

Dane techniczne otworu podsadzkowego „popiołowego” wg [3] były następujące: głębokość otworu 103 m (międzypoziom Kazanów), zarurowanie:

- rury 18” do głębokości 3,19 m,
- rury 16” do głębokości 69,90 m,
- rury 14” do głębokości 103 m.

W rurach 14” od głębokości 55 m do spodu otworu znajdowały się rury 12”, w nich z kolei znajdowała się kolumna robocza, początkowo na odcinku 2,87 m 11”, na dalszym odcinku 10,5”.

W profilu litologicznym otworów, na podstawie materiałów archiwalnych, występują:

- 0÷12 m p.p.t. – utwory czwartorzędowe wykształcone w postaci glin pylastycznych z wkładkami pyłu, rumoszu piaskowców, lokalnie żwirów;
- 12÷30 m p.p.t. – ilowce ze skupieniami gipsów otuliny ilowo gipsowej;
- 30÷90 m p.p.t. – utwory złoża bryłowego w postaci ilowców marglistych, zubrów solnych z bryłami soli zielonej;
- 90÷104 m p.p.t. – ponownie ilowce ze skupieniami gipsów otuliny ilowo gipsowej.

„Bunkier popiołowy” przylega do końcowego odcinka poprzecznego Koerber na poziomie III. Końcowa partia poprzecznego Koerber oraz znaczna część chodnika dojściowego do wylotów bunkra popiołowego znajduje się w obrębie utworów przylegających do północnej granicy złoża. W poprzecznym w rejonie „bunkra” występuje dopływ zarejestrowany jako wyciek VIII-9.

Zjawisko wodne obejmuje wycieki kropelowe z trzech wylotów bunkra popiołowego, połączonego otworami zsypowymi z powierzchnią, a także dopływ pochodzący przypuszczalnie od spągu. Wyciek jest rejestrowany od 1969 roku, choć prawdopodobnie zaistniał już w momencie wykonania otworów zsypowych. Dopływ pochodzi prawdopodobnie z wodonośnych warstw nadkładu złoża, a także utworów przylegających do północnej granicy złoża. W rejonie wylotów z bunkra popiołowego solanka wypełniała zagłębia w spągu chodnika i gromadziła się w wykonanym do celów odwodnienia rzapiu. W 1985 roku wykonano przebudowę poprzecznego Koerber i Chodnika Popiołowego, której wynikiem było ujęcie dopływu. Od tego czasu solanka (o różnym stopniu nasycenia) zbiera się w dwóch rzapiach (VIII-9/1) i (VIII-9/2).

W 1987 roku dokonano likwidacji otworów zsypowych. Otwory 1 i 2 zostały przerwiercone. Otwór nr 3 nie został przerwiercony ze względu na zagwoźdzenie go przedmiotami metalowymi od głębokości 12 m. Po próbie szczelności przeprowadzonej w połączonych otworach 1 i 3 uszczelniono wylot otworu 1 i zatoczeno mleczko cementowe do wysokości 7–8 m w otworach 1 i 3.

Likwidacja otworów wpłynęła na zmniejszenie wycieków kropelowych obserwowanych przy wylotach tych otworów z około 500 do 40 kropli na minutę [4].

Obecnie planowane jest doszczelnienie otworów „popiołowych” (oznaczonych symbolami X-1, X-2, X-3). Ma to polegać na uszczelnieniu strefy przytorowej górotworu na odcinku od powierzchni do stropu utworów trzeciorzędowych poprzez: odwiercenie wokół każdego z nich dwóch pierścieni składających się z ośmiu otworów o głębokości 14 m każdy, wykonaniu iniekcji zaczynami doszczelniającymi i przykryciu otworów na głębokości do 1,5 m p.p.t. płytą betonową [2].

3. WYDAJNOŚĆ I CHEMIZM WYCIEKU VIII-9

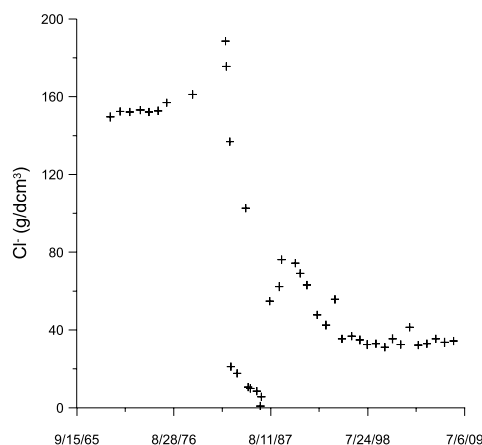
Obecnie solanka wycieku VIII-9 gromadzi się w dwóch rzapiach. W rzapiu zlokalizowanym bliżej wylotu bunkra popiołowego VIII-9/1 (rys. 2) dopływ w ilości około 0,02 l/min charakteryzuje się zawartością jonów Cl^- ok. 35 g/l, w drugim oznaczonym VIII-9/2 zbiera się solanka o nasyceniu ok. 186 g/l. jonus Cl^- (stan równowagi z halitem) w ilości 0,08 l/min (Bilans wycieków kopalnianych). Według badań izotopowych (oznaczenia δO^{18} , δD i zawartość trytu) [6] woda określana jest jako współczesna silnie odparowana).



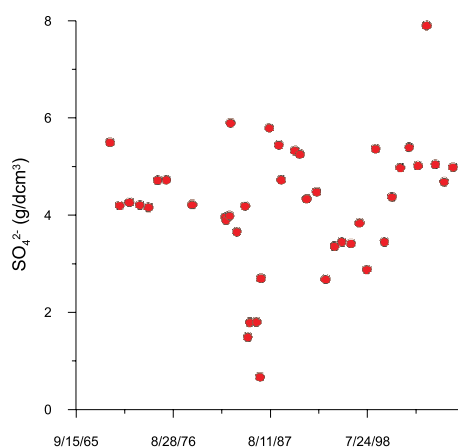
Rys. 2. Rzapie WIII-9/1 (fot. J. Przybyło)

Zmiany wydajność wycieku oraz zawartości jonów siarczanowych i chlorkowych oraz wartości wskaźnika siarczanowości przedstawiono na rysunkach 3–8. Obserwuje się spadek zawartości jonów Cl^- (rys. 3), współczynnik korelacji liniowej wynosi $R = -0,70$. Należy jednak zaznaczyć, że do roku 1986 to jest do czasu przebudowy chodnika oraz wykonania ujęcia tego wycieku (dwa rzapia) do badań pobierano solankę stagnującą w chodniku czyli bardziej nasyconą NaCl . Po roku 1987 (22 dane) występuje też spadek zasolenia dopływu i ma on łagodny przebieg, ale zależność potwierdzona jest wartościami współczynników korelacji liniowej Pearsona $R = -0,81$ i korelacji nieparametrycznej współczynnik Spermana $R = -0,81$. Dla tego mniejszego przedziału czasowego obserwuje się też wzrost wartości wskaźnika siarczanowości (rys. 5) potwierdzony istotną wartością współczynnika korelacji liniowej $R = 0,79$ i korelacji nieparametrycznej $R = 0,80$. Zachodzące zależności można interpretować jako wynik postępującego rozulgowania złoża solnego. Należy zaznaczyć, że wzrost wartości wskaźnika siarczanowości przy braku określonych tendencji zmian zawartości jonów siarczanowych w badanym przedziale czasowym (rys. 4) świadczy, że o zmianach wartości wskaźnika decyduje malejąca zawartość jonów chlorkowych. Może to wskazywać, że stan rozulgowania otuliny złoża utrzymuje się na podobnym poziomie w całym okresie badawczym. Według modelowania geochemicznego wyciek WIII-9/1 osiągnął stan bliski nasycenia minerałami siarczanowymi (gipsem i anhydrytem) [5]. Z powodu niewystarczającej liczby danych nie można nic wnioskować o procesach zachodzących podczas dopływu do rzapia 2 (WIII-9/2). Wydajność ujęcia analizowana w całym bada-

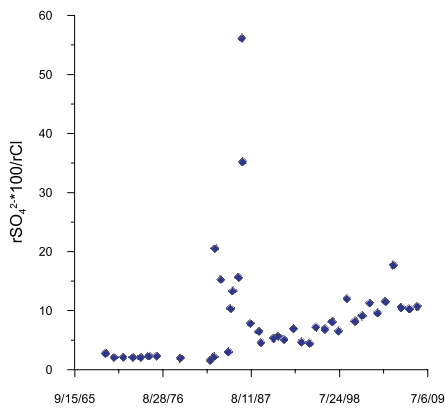
nym przedziale czasowym zmniejszyła się (rys. 6), współczynnik korelacji liniowej $R = -0,66$. Ale zmiany wydajności po roku 1987 (likwidacji otworów zsypowych) mają charakter nieregularnych wahań. Należy zaznaczyć, że ostatnie dane wydajności dopływu $-0,1 \text{ l/min}$ są kilkukrotnie mniejsze od wielkości obserwowanych w latach sześćdziesiątych ok. $0,6 \text{ l/min}$. Zmniejszoną wydajność obserwuje się od czasów likwidacji otworów zsypowych. Z przebiegu wykresów obrazujących zmiany wydajności dopływów WIII-9/1 i WIII-9/2 (rys. 6 i 7) w okresie od 1994 r. (od kiedy prowadzi się obserwacje na podstawie dokładnych badań wodowskazowych można zaobserwować powiązanie ilości dopływów do obu rzeki (zależność odwrotnie proporcjonalna). Otrzymane wartości współczynników korelacji Pearsona $R = -0,31$, i Spearmana $R = -0,20$ choć istotne statystycznie świadczą, że zależność ta nie jest silna. Może to świadczyć, że istnieje powiązanie między tymi dopływami ale jednoznaczne określenie drogi krążenia wód w tym rejonie może być trudne.



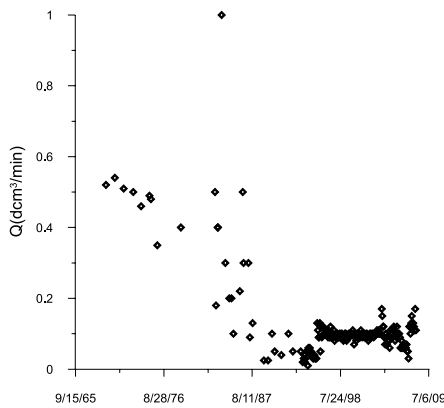
Rys. 3. Zawartość Cl^- w latach 1965–2008



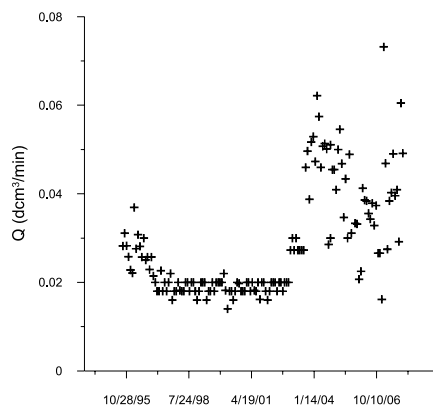
Rys. 4. Zawartość SO_4^{2-} w latach 1965–2008



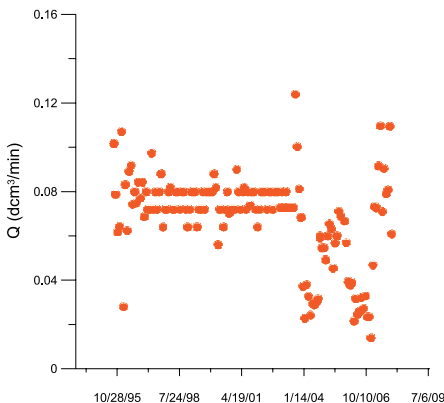
Rys. 5. Wartość wskaźnika siarczanowości w latach 1965–2008



Rys. 6. Wydajność WIII-9 w latach 1965–2007



Rys. 7. Wydajność WIII-9/1 w latach 1994–2007



Rys. 8. Wydajność WIII-9/2 w latach 1994–2007

4. PODSUMOWANIE

1. Sytuacja hydrogeologiczna w rejonie wycieku WIII-9 to przykład kontaktu hydraulycznego powstały na skutek przewiercenia nadkładu złoża. Zawartości siarczanów badane w okresie ostatnich 40 lat w wycieku WIII-9 świadczą, że dopływająca woda lugowała minerały otuliny gipsowo – ilowej osiągając stan bliski nasycenia minerałami siarczanowymi.
2. Podjęte w latach osiemdziesiątych działania, które doprowadziły do ujęcia wycieku oraz likwidacja otworów zsypowych wpłynęły na zmniejszenie wydajności i ograniczenie penetracji wyrobisk kopalnianych przez wodę o niepełnym zasoleniu.
3. Większa wydajność solanki nasyconej niż nienasyconej świadczy, że nie udało się całkowicie wyeliminować procesu rozpuszczania halitu przez dopływ współczesnej wody infiltracyjnej.
4. Podjęcie działań mających na celu uszczelnienie drogi dopływu przez powtórną likwidację otworów zsypowych prawdopodobnie pozwoliłoby wyeliminować kontakt hydrauliczny, a co za tym idzie zmniejszyć zagrożenia wodne w tym rejonie kopalni.

LITERATURA

- [1] Bilans Wycieków Kopalnianych za rok 2008. Arch. Dz. Geol. KS „Wieliczka”
- [2] Gonet A. Stryczek S. Winid B.: *Projekt techniczny likwidacji otworów podsadzkowych odwierconych z powierzchni do wyrobisk Kopalni soli „Wieliczka”*. Arch. Dz. Geol. KS „Wieliczka”
- [3] Materiały Archiwalne Działu Geologicznego KS Wieliczka, 1948
- [4] Rejestr wycieków kopalnianych 1982–2008, Arch. Dz. Geol. KS „Wieliczka”
- [5] Winid B.: *Wycieki solanek związane ze złożami soli kamiennnej i znaczenie analizy ich parametrów w obserwacji warunków hydrogeologicznych na przykładzie Kopalni Soli Wieliczka*. Wydział WNiG AGH, 2003 (praca doktorska)
- [6] Zuber A., Duliński M.: *Badania izotopowe wód kopalnianych Wieliczki wykonane w latach 1973–2004: rezultaty i ich wyniki interpretacja*. Praca niepublikowana, 2004